

Autómatas celulares elementales aplicados a la encriptación de datos

Elena Villarreal Zapata y Francisco Cruz Ordaz Salazar
Universidad Politécnica de San Luis Potosí

18 de febrero de 2022

Resumen

Para el cifrado de datos suele ser necesaria una llave como base, por lo que es indispensable tener una que sea robusta y confiable, para así evitar el acceso de terceros a la información cifrada. Esto requiere un generador de números pseudo-aleatorios que proporcionará dicha llave, por lo que se propone trabajar con autómatas celulares auxiliándose con *Mathematica*, para revisar qué reglas, y a qué nivel, son pseudo-aleatorias. Este proyecto se centra en la revisión de posibles reglas pseudo-aleatorias, analizando sus características detalladamente y sometiénolas a un conjunto de pruebas de aleatoriedad con el fin de conocer cuales de ellas nos permitirán obtener los números pseudo-aleatorios que conformarán la llave para el cifrado de datos.

Keywords: autómatas celulares, pseudo-aleatoriedad, cifrado de datos.

1. Introducción

Esta investigación es parte complementaria de un proyecto que se está trabajando en la Universidad Politécnica de San Luis Potosí, en el que se pretende desarrollar un sistema de encriptación de datos basado en autómatas celulares. Como parte del proyecto inicial se debe comprobar que se está trabajando con reglas pseudo-aleatorias, ya que de comenzar a trabajar con reglas al azar se corre el riesgo de generar un cifrado que puede ser *hackeado* fácilmente. Por tanto, se buscan reglas de autómatas celulares que tengan un

comportamiento pseudo-aleatorio, para después generar secuencias con cada una y probar su aleatoriedad.

2. Antecedentes

Los autómatas celulares fueron inventados a fines de los años cuarenta por Stanislaw Ulam y John von Neumann, quienes realizaron trabajos para crear un sistema que se replicara a sí mismo a partir de una abstracción matemática. Años después, Wiener y Rosenblueth desarrollaron un modelo de autómatas celulares que pretendía describir matemáticamente la conducción de impulsos en sistemas cardiacos. En los sesentas se empezaron a estudiar como un tipo de sistemas dinámicos, y para los setenta aparece el Juego de la Vida. Este fue inventado por John Conway y consistía en una colección de celdas las cuales, basadas en reglas matemáticas, podían vivir, morir o mutiplicarse, todo esto dependiendo de las condiciones iniciales [6]. En 1983, Stephen Wolfram publicó algunos escritos sobre una clase de autómatas que el llamaba autómatas celulares elementales y sobre su comportamiento y las reglas que los definían. Para el 2002, Wolfram publicó su libro *A New Kind of Science* [10] en el cual explica ampliamente sobre ellos, su trabajo y su importancia en todas las ramas de la ciencia. En cuanto a la encriptación, Olu Lafe [5] nos explica que existen un numero de patentes dadas y literatura sobre ello que incluye los trabajos de Wolfram (1985) [9], Delahaye[1] (1991), Guan [8] (1987) y Gutowitz [2] (1994). En los cuales, Wolfram hace uso de la regla 30 de los autómatas celulares para generar números pseudo-aleatorios; Guan usa un sistema dinámico invertible; Gutowitz (U.S. Patent 5,365,589) usa sistemas dinámicos irreversibles; y Lafe (U.S. Patent 5,677,956 el 14 de octubre de 1997) utiliza operaciones simples de transformación, lo cual implica una enorme biblioteca de llaves o códigos criptográficos derivados de los autómatas celulares[1, 2, 3].

3. Autómatas Celulares

Un autómata celular, en su versión más simple, es una línea unidimensional de sitios o celdas, donde cada una es blanca o negra. El color o estado de esta celda puede cambiar conforme al tiempo. Con cada paso discreto de tiempo, las celdas se actualizan (ya sea para mantener o cambiar su color

previo) de acuerdo a la función de su estado anterior y al de las dos células vecinas a ella (una por el lado izquierdo y otra por el lado derecho). Existen además, otros espacios disponibles de autómatas celulares, donde se consideran más parámetros como lo son el número de estados en las células, vecindarios mayores, plantillas más amplias y dimensiones adicionales, colores, entre otros.

3.1. Reglas

A las condiciones de vecindad de un autómata celular se le conoce como “regla”. Existen 256 (2^8) reglas para los autómatas celulares con un estado binario variable (0,1) y una vecindad de 1 con longitud de tres. Cada una de ellas está especificada por un código decimal obtenido a partir de las ocho permutaciones para la vecindad 1 en orden descendiente y los leemos como un código binario de ocho dígitos, lo cual nos da el número de la regla. La regla 30, por ejemplo, está definida por la configuración dada en la figura 1. Nótese que la secuencia 00011110 es la representación binaria del número 30.

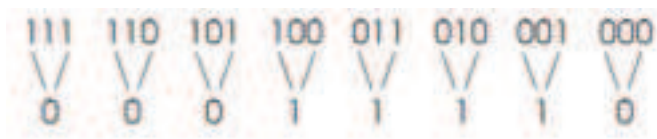


Figura 1: Representación binaria de la regla 30.

Stephen Wolfram propone un esquema de clasificación, el cual divide las reglas de autómatas celulares en cuatro categorías de acuerdo a sus evoluciones a partir de una condición inicial “desordenada.” aleatoria. La clase 1, también conocida como de tipo fijo, la cual evoluciona rápidamente a un estado estable y homogéneo en el que todos los sitios tienen el mismo valor y cualquier aleatoriedad en el patrón inicial desaparece; la clase 2, también conocida como de tipo periódico, en la cual se repite un mismo patrón como un bucle donde su evolución es a gran velocidad y cualquier aleatoriedad en el patrón inicial solo dejaría restos que complementarían el bucle; la clase 3, también conocida como de tipo caótico o pseudo-aleatorio, en donde su evolución conduce a un patrón caótico donde cualquier estructura estable es

rápida destruida por el ruido circundante y los cambios tienden a extenderse de manera indefinida; y la clase 4, de tipo complejo, la cual presenta comportamientos tanto de la clase 2 y 3 y suelen presentar una evolución más lenta. Teniendo una condición inicial simple, existen 13 reglas de autómatas celulares en las clases 3 y 4 calculadas en [11], que son las siguientes: 30, 45, 75, 79, 86, 89, 101, 110, 124, 135, 137, 149, 193. Éstas se amplían a 38 reglas de clase 3 si se tienen condiciones iniciales aleatorias [9], las cuales son las siguientes: 18, 22, 30, 45, 54, 60, 73, 75, 86, 89, 90, 101, 102, 105, 106, 109, 110, 120, 122, 124, 126, 129, 135, 137, 146, 147, 149, 150, 151, 153, 161, 165, 169, 182, 183, 193, 195 y 225. Según un estudio realizado en Brasil [7], las reglas de clase 3 pueden ser clasificadas en cuatro distintas subclases: Depósito Aleatorio (Declaración), representada por las siglas RD; Percolación Dirigida, representada por las siglas DP; Percolación Compacta Dirigida, de siglas CDP; y autómatas celulares Domany-Kinzel, de siglas DKCA y donde pueden ser simétricos o asimétricos. Siendo que las reglas de clase 3 presentan comportamientos caóticos y pseudo-aleatorios, se eligieron cuatro reglas. La regla 30 perteneciente a la subcategoría RD; la regla 54 perteneciente a la subcategoría DKCA (asimétrica); la regla 73 perteneciente a la subcategoría CDP; y la regla 110 perteneciente a la subcategoría DP y DKCA (simétrica).

4. Pseudo-aleatoriedad

La necesidad de obtener números aleatorios y pseudo-aleatorios se plantea en muchas aplicaciones criptográficas, pues se emplean llaves que deben ser generadas con dichas características. Por ejemplo, para cantidades auxiliares usadas en generación de firmas digitales, ó para generar desafíos en autenticación de protocolos. El Instituto Nacional de Estándares y Tecnología (NIST) proporciona un conjunto de pruebas estadísticas de aleatoriedad y considera que estos procedimientos son útiles en la detección de desviaciones de una secuencia binaria en la aleatoriedad [4]. Existen dos tipos básicos de generadores usados para producir secuencias aleatorias: Generadores de Números Aleatorios (RNGs) y Generadores de Números Pseudo-Aleatorios (PRNGs). Para aplicaciones criptográficas, ambos tipos de generadores producen un flujo de ceros y unos que pueden ser divididos en sub-flujos ó bloques de números aleatorios. Nuestro interés está en la revisión de un generador tipo PRNGs, en este caso, si la semilla (línea inicial) es desconocida, en el paso siguiente el número producido en la secuencia debe ser impredecible a

pesar de todo conocimiento de números aleatorios anteriores en la secuencia. Esta propiedad se conoce como imprevisibilidad siguiente, y es lo que se presume que obtenemos mediante autómatas celulares de clase 3. El conjunto de pruebas de NIST es un paquete estadístico que consiste en 15 pruebas que se desarrollaron para probar la aleatoriedad de (arbitrariamente largas) secuencias binarias producidas por hardware y software basado en generadores criptográficos de números aleatorios o pseudo-aleatorios. Dichas pruebas se enfocan en diversos tipos de no aleatoriedad que pueden existir en una secuencia. Las 15 pruebas son:

- Prueba de frecuencia (Monobit).

Esta prueba mide la proporción de ceros y unos de toda una secuencia.

- Prueba de frecuencia dentro de un bloque.

Esta prueba mide la proporción de unos dentro de un bloque de M bits.

- Prueba de corridas.

Esta prueba mide el total de corridas en una secuencia, donde una corrida es una secuencia interrumpida de bits idénticos.

- Prueba de la más larga corrida de unos en un bloque.

Esta prueba mide la corrida más larga de unos dentro de un bloque de M bits.

- Prueba de rango de la matriz binaria.

Esta prueba mide el rango de sub-matrices disjuntas de toda la secuencia.

- Prueba de la transformada discreta de Fourier (Espectral).

Esta prueba mide las alturas de los picos en las transformadas discretas de Fourier de las secuencias.

- Prueba de la no acumulación de coincidencia de plantilla.

Esta prueba mide el número de ocurrencias de cadenas destino pre-especificadas. Una ventana de m bits es usada para buscar un patrón específico de m bits.

- Prueba de acumulación de coincidencia de plantilla.

Esta prueba también mide el número de ocurrencias de cadenas destino pre-especificadas. La diferencia con la prueba anterior reside en la acción realizada al encontrar un patrón.

- Prueba de Estadística Universal de Maurer.

Esta prueba mide el número de bits entre los patrones de juego (una medida que está relacionada con la longitud de una secuencia comprimida).

- Prueba de complejidad lineal.

Esta prueba mide la longitud de un Registro de Desplazamiento con Retroalimentación Lineal (LFSR). Una baja longitud LFSR implica no aleatoriedad.

- Prueba de serie.

Esta prueba mide la frecuencia de todos los posibles patrones de m bits acumulados a través de la secuencia completa.

- Prueba de entropía aproximada.

Esta prueba tiene el mismo enfoque que la anterior, con el propósito de comparar la frecuencia de bloques acumulados de dos consecutivas/adyacentes longitudes (m y $m + 1$).

- Prueba de sumas acumulativas.

Esta prueba mide la excursión máxima (desde cero) del paseo aleatorio definido por la suma acumulada de ajustados $(-1, +1)$ dígitos en la secuencia.

- Prueba de excursiones aleatorias.

Esta prueba mide el número de ciclos teniendo exactamente k visitas en una suma acumulativa de un paseo aleatorio.

- Prueba variante de excursiones aleatorias.

Esta prueba mide el total de veces que un estado particular es visitado (es decir, se produce) en una suma acumulada de un paseo aleatorio.

5. Metodología

Primeramente se recopiló información sobre las clases que propone Wolfram para clasificar las reglas del autómata celular. Fue con esta recopilación, que se encontró que existían subcategorías propuestas dentro de la clase 3. Y, al encontrar estas subcategorías, se decidió realizar pruebas de aleatoriedad a una regla por división, como se mencionó anteriormente.

Cuadro 1: Resultados de las pruebas aplicadas a reglas representantes de cada una de las 4 clases de Wolfram (A significa que la prueba fue aprobada y R que fue reprobada).

Prueba	R30	R54	R73	R110
Frecuencia (Monobit)	A	R	R	R
Frecuencia dentro de un bloque	A	R	R	R
Corridas	R	R	R	R
Más larga corrida de unos en un bloque	A	R	R	R
Rango de la matriz binaria	A	R	A	R
Transformada discreta de Fourier (Espectral)	R	R	R	R
No acumulación de coincidencia de plantilla	A	A	A	A
Acumulación de coincidencia de plantilla	A	A	R	R
Estadística Universal de Maurer	A	A	R	R
Complejidad lineal	A	R	A	R
Serie	A	R	R	R
Entropía aproximada	A	R	R	R
Sumas acumulativas	A	R	R	R
Excursiones aleatorias	A	R	R	R
Variante de excursiones aleatorias	A	R	R	R

Por tanto, para cada una de las reglas elegidas, se generaron mediante *Mathematica* 1000 archivos con 10000 datos. Estos 10000 datos son conformados a partir de una ‘cadena inicial de 100 caracteres, la cual es generada aleatoriamente y se compone únicamente de 0s y 1s. Después de generar los archivos para cada regla, estos se juntaron en un solo archivo, que posteriormente se analizaría mediante la Suite de Pruebas de la NIST. Al finalizar el análisis de cada archivo final (uno por regla), se obtuvo un archivo con los resultados del análisis, lo cual nos permite ver si la regla tiene o no carac-

terísticas que la avalen como pseudo-aleatorias o no. En el Cuadro 1, podemos ver una comparación de las reglas y su pase en cada una de las pruebas.

Los resultados y calificaciones de la tabla se obtuvieron después de realizar varias veces el procedimiento de generación y prueba de datos y promediar los resultados por prueba estadística y por intento.

6. Conclusiones

Como podemos ver, la regla que más propiedades de pseudo-aleatoriedad presenta es la regla 30, por lo que podemos concluir que se puede considerar que es pseudo-aleatoria. Es importante notar que las dos pruebas que reprueba no se les considera que afecten a los resultados, puesto que se notó que sus reprobaciones son debido a que las corridas son consideradas perfectas, lo cual es poco probable en un generador de números pseudo-aleatorios. Por el contrario, la enorme falta de propiedades básicas de aleatoriedad en las otras reglas, nos permite pensar que es posible que solo las reglas de clase 3 que pertenezcan a la subcategoría RD sean las que presenten pseudo-aleatoriedad. Se continúa realizando pruebas nuevamente, con reglas distintas a las elegidas, para comprobar si es la subcategoría o si solamente fue una coincidencia entre las reglas elegidas de cada subcategoría que solo aquella perteneciente a la subcategoría RD sea pseudo-aleatoria. Consideramos que después de realizar estas pruebas se podría continuar con el trabajo enfocándose a la encriptación y recomendamos que se pruebe cada una de las reglas pseudo-aleatorias encontradas, como llave de un sistema simple de encriptación y, posteriormente, en uno más complejo para verificar el funcionamiento de las mismas como llaves y su utilidad.

Referencias

- [1] J-P. Delahaye, Les Automates, *Pour La Science*, pp.126–134, 1991.
- [2] H. A. Gutowitz, Cellular Automata: Theory and Experiment; proceedings of an interdisciplinary workshop, Editor. vol. 45, *Physica D*, 1990.
- [3] H. A. Gutowitz, Artificial Life Simulators and Their Applications, *DRET Technical Report*, 1994.

- [4] A.L. Rukhin, J. Soto, J. Nechvatal, M. Smid, E. Barker, S. Leigh, M. Levenson, M. Vangel, D. Banks, A. Heckert, J. Dray, S. Vo, A Statistical Test Suite for Random and Pseudorandom Number Generators for Cryptographic Applications, *NIST Special Publication 800-22 A*, (2001) revised 2010.
- [5] O. Lafe, Cellular Automata Transforms, *Kluwer Academia Publishers*, 2000.
- [6] E. Martin, John Conway's Game of Life. Recuperado el Julio de 2010, de <http://www.bitstorm.org/gameoflife/>
- [7] T.G. Mattos y J. G. Moreira. Universality Classes of Chaotic Cellular Automata, *Brazilian Journal of Physics*, vol. 34, nm. 02A, pp. 448–451, 2004.
- [8] P. Guan, Cellular automaton public-key cryptosystem, *Complex Systems*, vol. 1, pp. 51–57, 1987.
- [9] S. Wolfram, Theory and Applications of Cellular Automata, *Rev. Mod. Phys.* 55, 601, 1983.
- [10] S. Wolfram, *A New Kind of Science*, Wolfram Media Inc., 2002.
- [11] H. Zenil, Compression-based Investigation of the Dynamical Properties of Cellular Automata and Other Systems, *Complex Systems*, 19(1), pages 1-28, 2010.